

Referências Bibliográficas

-
- 1 SHAH, A. A.; HASAN, F.; HAMEED, A.; AHMED, S., *Biological degradation of plastics: A comprehensive review*. **Biotechnology Advances:** v. 26 , p. 246-265, 2008
 - 2 FA, W.; ZAN, L.; GONG, C.; ZHONG, J.; & DENG, K.. *Solid-phase photocatalytic degradation of polystyrene with TiO₂ modified by iron (II) phthalocyanine*. **Applied Catalysis B: Environmental**, v. 7, n. 3, p. 216-223, 2008.
 - 3 SHANG, Jing; CHAI, Ming; ZHU, Youngfa. Photocatalytic Degradation of Polystyrene Plastic under Fluorescent Light. **Environmental Science Technology**. V. 37, p. 4494-4499, 2003.
 - 4 ASGHAR, W.; QAIZI, I., A.; ILYAS, H.; KHAN, AHMAD A.; AWAN, ALI, M.; ASLAM, RIZWAN, M.. *Comparative Solid Phase Photocatalytic Degradation of Polythene Films with Doped and Undoped TiO₂ Nanoparticles*. **Journal of Nanomaterials**: v. 2011, p. 1-8.
 - 5 ASHBY, M., F.; FERREIRA, P., J. *Nanomaterials, Nanotechnologies and Design – An Introduction for Engineers and Architects*. USA, 2009
 - 6 HAMMING, L. M., QIAO, R., MESSERSMITH, O.B., BRINSON, L. C. *Effects of dispersion and interfacial modification on the macroscale properties of TiO₂ polymer-matrix nanocomposites*. **Composite Science and Technology**, v. 69, p. 1880-1886, 2009.
 - 7 XIAO-LIN XIE; YIU-WING MAI; XING-PING ZHOU. *Dispersion and alignment of carbon nanotubes in polymer matrix: A review*. **Materials Science and Engineering**, v. 49, p. 89-112, 2005.
 - 8 ZHU J.; JONGDAE K.; PENG H.; MARGRAVE J. L.; KHABASHESKU V. N.; BARRERA E. V. *Improving the dispersion and Integration os Single-*

- walled Carbon Nanotubes in Epoxy Composites through Functionalization. **NanoLetters**, v. 3, n. 8, 1107-1113, 2008.
- 9 PENG-CHENG MA; SHAN-YIN MO; BEN-ZHONG TANG; JANG-KYO KIM. Dispersion, interfacial interaction and re-agglomeration of functionalized carbon nanotubes in epoxy composites. **Carbon**, v. 48, p. 1824-1834, 2010.
- 10 BYRNE, M. T.; McCARTHY, J. E.; BENT, M.; BLAKE, R.; GUN'KO, Y. K.; HORVATH, E.; KONYA, Z.; KUKOVECZ, A.; KIRICSI, I.; COLEMAN, J. N. *Chemical functionalisation of titania nanotubes and their utilisation for the fabrication of reinforced polystyrene composites*. **Journal of Materials Chemistry**, v. 17, p. 2351- 2358, 2007
- 11 RICHA RASTOGI; RAHUL KAUSHAL; S.K. TRIPATHI; AMIT L. SHARMA; INDERPREET KAUR; LALIT M. BHARADWAJ. *Comparative study of carbon nanotube dispersion using surfactants*. **Journal of Colloid and Interface Science**, v. 328, p. 421-428, 2008.
- 12 HOFFMAM, M. R., MARTIN, S. T., CHOI, W., BAHNEMANN, D. W., *Environmental Applications of semiconductor photocatalysis*. **Chem. Rev**, vol. 95, p. 69-96, 1995
- 13 LINSEBIGLER, A. L, LU, G., YATES, J. T.Jr, *Photocatalysis on TiO₂ Surfaces: Principles, Mechanisms, and Selected Results*. **Chem. Rev**, vol 95, p. 735-758, 1995.
- 14 WOLD, A., *Photocatalytic Properties of TiO₂*; **Chem. Mater**, v. 5, p.280-283, 1993.
- 15 MILLS, A.; DAVIES, R., H.; WORSLEY, D. *Water Purification by Semiconductor Photocatalysis*. **Chemical Society Reviews**, v. 22, p. 417-425, 1993.
- 16 DMITRY, V.; BAVYKIN, J.; FRIEDRICH, M.; WALSH, F. C. *Protonated titanates and TiO₂ nanostructure materials: synthesis, properties, and applications*. **Advanced Materials**, v. 18, p. 2807-2824, 2006.
- 17 CARP, O., HUISMAN, C.L., RELLER, A. *Photoinduced reactivity of titanium dioxide*. **Progress in Solid State Chemistry**, v. 32, p. 33–177, 2004
- 18 CARTER, C., B., NORTON, M., G. **Ceramic Materials Science and Engineering**. English, 1° Ed, Springer, 2007.

-
- 19 ABREU, M. A. S., **Síntese e caracterização de nanomateriais a base de TiO₂ e seu uso no abatimento fotocatalítico de Nox.**. 2010, Dissertação de Mestrado, Pontifícia Universidade Católica do Rio de Janeiro. Rio de Janeiro: 2010.
- 20 ZHAO, X., LI, Z.; CHEN, Y.; SHI, L.; ZHU, Y. (2008). Enhancement of photocatalytic degradation of polyethylene plastic with CuPc modified TiO₂ photocatalyst under solar light irradiation. **Applied Surface Science**, v. 254, p. 1825-1829, 2008.
- 21 SHANG, J.; CHAI, M.; ZHU, Y. *Photocatalytic degradation of polystyrene plastic under fluorescent light*. **Environmental science & technology**, v. 37, n. 19, p. 4494-9, 2008.
- 22 YANG, Changjun; GONG, Chuqing; PENG, Tianyou; DENG, Kejian; ZAN, Ling; *High photocatalytic degradation activity of the polyvinyl chloride(PVC)-vitamin C (VC)-TiO₂ nano-composite film*. **Journal of Hazardous Materials**, v. 178, p.152-156, 2010.
- 23 IJIMA, S., *Helical microtubes of graphitic carbon*. **Nature**, 354, 1991, 56-58.
- 24 MORGADO, E. Jr.; ABREU, M. A. S.; PRAVIA, O. R. C.; MARINKOVIC, B. A.; JARDIM, P. M.; RIZZO, F. C.; ARAÚJO, A. S., *A study on the structure and thermal stability of titanate nanotubes as a function of sodium content*, **Solid States Science**, v. 8, p. 888-900, 2006.
- 25 KASUGA, T.; HIRAMATSU, M.; HOSON, A.; SEKINO, T.; NIIHARA, K., *Formation of Titanium Oxide Nanotube*. **Langmuir**, v. 14, p. 3160-3163, 1998.
- 26 KUKOVECZ, A.; HODOS, M.; HORVÁTH, E.; RADNÓCZI, G.; KÓNYA, Z.; KIRICSI, I. *Oriented Crystal Growth Model Explains the Formation of Titania Nanotubes*. **The Journal of Physical Chemistry Letter**, v. 109, p. 17781-17783, 2005.
- 27 CHEN, Q.; ZHOU, W.; DU, G. H.; PENG, L.-M.; *Trititanate Nanotubes Made via a Single Alkali Treatment*. **Advanced Materials**, v. 14, n. 17, p. 1208-1211, 2002.
- 28 RENZHI M.; YOSHIO B.; TAKAYOSHI S., *Nanotubes of lepidocrocite titanates* **Chemical Physics Letters**, v. 380, p. 577–582, 2003.

-
- 29 H S I N, H.; C H I N G, H. ; Y A, H .; J I A N, H.; A N D S H A N G, L. , *Photocatalytic Oxidation of Aqueous Ammonia over Microwave-Induced Titanate Nanotubes.* **Environmental Science Technology.** v. 42, p. 4507–4512, 2008.
- 30 YU, JIAGUO; YU, HUOGEN; CHENG, BEI; TRAPALIS, C.. *Effects of calcination temperature on the microstructures and photocatalytic activity of titanate nanotubes.* **Journal of Molecular Catalysis A: Chemical,** v. 249, p. 135–142, 2006.
- 31 XIAO, MINGWEI; WANG, LISHIB; HUANG, JIAN, XIN; WUA, YANDAN; DANGA, ZHI. *Synthesis and characterization of WO₃/titanate nanotubes nanocomposite with enhanced photocatalytic properties.* **Journal of Alloys and Compounds,** v. 470, p. 486–491, 2009.
- 32 M., QAMAR; C.R.. YOON; H.J. OH; N.H., LEE; K., PARK; D.H., KIM; K.S, LEE; W.J., LEE; S.J., KIM . Preparation and photocatalytic activity of nanotubes obtained from titanium dioxide. **Catalysis Today,** v. 131, p. 3–14. 2008.
- 33 YU, HUOGEN; YU, JIAGUO; CHENG, BEI; LIN, JUN; Synthesis, characterization and photocatalytic activity of mesoporous titania nanorod/titanate nanotube composites. **Journal of Hazardous Materials,** v. 147 p. 581–587, 2007.
- 34 CHURCH, J. S., WOODHEAD A. L., FINCHER. K., *Separation of photo-active nano-crystalline anatase from titanate nanotubes.* **Journal of Colloid and Interface Science,** v. 346, p. 43–47, 2010.
- 35 GIJSMAN, P., Comparison of the UV-degradation chemistry of polypropylene, polyethylene, polyamide 6 and polybutylene terephthalate. **Polymer Degradation and Stability,** v. 65, n.3, p. 433-441, 1999.
- 36 SCOPONI, M., CIMMINO, S., & KACI, M.; Photo-stabilisation mechanism under natural weathering and accelerated photo-oxidative conditions of LDPE films for agricultural applications. **Polymer,** v.41, n. 22, p. 7969-7980, 2000.
- 37 ZHAO, Xu; LI, Zongwei; CHEN, Yi; SHI, Liyi; ZHU, Yongfa. *Solid-phase photocatalytic degradation of polyethylene plastic under UV and solar light*

-
- irradiation.* **Journal of Molecular Catalysis A: Chemical**, v. 268, p. 101-106, 2007.
- 38 GUILLET, J. E. Fundamental processes in the u.v. degradation and stabilization of polymers. **Pure and Applied Chemistry**, v. 30, n.1-2, p. 135-144, 1972.
- 39 SHANG, J. Solid-phase photocatalytic degradation of polystyrene plastic with TiO₂ as photocatalyst. **Journal of Solid State Chemistry**, v. 174, n.1, p.104-110, 2003.
- 40 UMEK, P.; HUSKIC, M.; SKAPIN., A. S.; FLORJANCIC, U.; ZUPANCIC, B.; EMRI, I.; ARCON, D. Structural and Mechanical properties of polystyrene nanocomposites with 1D titanates nanostructure prepared by an extrusion process. **Polymer Composites**, p. 1319-1325, 2009.
- 41 COUTINHO, F. M. B.; MELLO, I., L.; MARIA, L., C., S.; *Polietileno: Principais Tipos, Propriedades e Aplicações.* **Polímeros: Ciência e Tecnologia**, vol. 13, nº 1, p. 1-13, 2003.
- 42 CALISTER, Jr.; Willian, D.; **Ciência e engenharia de materiais: uma introdução.** Tradução Sérgio Murilo Stamile Soares, Rio de Janeiro: Ed. LC, 2008.
- 43 MOTHÉ, C. G., AZEVEDO, A. D., **Análise térmica de materiais.** São Paulo: Ed. Art Liber, 2009
- 44 COELHO, A.; FONSECA, I.M.; MATOS, I.; MARQUES, M.M.; REGO, A. M. B.; LEMOS, M.A.N.D.A.; LEMOS, F. Catalytic degradation of low and high density polyethylenes using ethylene polymerization catalysts: Kinetic studies using simultaneous TG/DSC analysis. **Applied Catalysis A: General**, vol 374, p.170–179, 2010.
- 45 ZAKY, M., T.; MOHAMED, N., H., Influence of low-density polyethylene on the thermal characteristics and crystallinity of high melting point macro- and micro-crystalline waxes. **Thermochimica Acta**, vol. 499, p. 79–84, 2010.
- 46 MORGADO, E.; ABREU, M. A.; MOURE, G. T.; MARINKOVIC, B. A.; JARDIM, P. M.; ARAUJO, A. S. *Characterization of Nanostructured*

Titanates Obtained by Alkali Treatment of TiO₂ -Anatases with Distinct Crystal Sizes. **Chemistry Materials**, v. 6, p. 665-676, 2007.

- 47 WUA, T., LIB, Y., WUA, G.; *Crystalline structure and phase structure of mLLDPE/LDPE blends.* **Polymer**, vol 46, p. 3472–3480, 2005.
- 48 ZHONGYANG L., JING J., SHUANGJUN C., JUN Z.; Effect of crystal form and particle size of titanium dioxide on the photodegradation behaviour of ethylene-vinyl acetate copolymer/low density polyethylene composite. **Polymer Degradation and Stability**, vol. 96, p. 43 a 50, 2011.
- 49 GULMINEA, J.V.; JANISSEKB, P.R; HEISEC, H.M., L.; AKCELRUD D,; *Degradation profile of polyethylene after artificial accelerated weathering.* **Polymer Degradation and Stability**, vol 79, p. 385–397, 2003.
- 50 STEVENS, M., P., **Polymer Chemistry: an introduction.** New York: Oxford UniversitY Press, 3° ed., 1999.
- 51 KONG, Y., HAY, J.N. *The measurement of the cristallinity of polymers by DSC.* **Polymer**, vol. 43, p. 3873, 2002.
- 52 LIU, Z.; JIN, J.; CHEN, S.; ZHANG, J. *Effect of crystal form and particle size of titanium dioxide on the photodegradation behaviour of ethylene-vinyl acetatecopolymer/low density polyethylene composite.* **Polymer Degradation and Stability**, vol. 96, p.43 a 50, 2011.
- 53 ALLEN, N. S., EDGE, M., CORRALES,T.; CHILDS, A., LIAUW, C. M., CATALINA, F.; PEINADO, C.; MINIHAND, A.; ALDCROFT, D. *Ageing and stabilisation of filled polymers: an overview.* **Polymer Degradation and Stabilify**, vol. 61, p. 183-199, 1008.
- 54 VINODH K., S.; GHADEI, B.; KRISHNA, J.B.; BHATTACHARYA, S.C.; SAHA, A.; *High-energy C+ ion-irradiatedlow-densitypolyethylene(LDPE): Spectroscopic and morphological investigation.* **Radiation Physics and Chemistry**, vol. 78, p. 351–355, 2009.
- 55 V. SVORCÍK, V.; KOLAROVÁ, K.; SLEPIČKA, P.; MACKOVÁ, A.; NOVOTNÁ, M., HNATOWICZ, V. *Modification of surface properties of high and low density polyethylene by Ar plasma discharge.* **Polymer Degradation and Stability**, vol. 91, p. 1219-1225, 2006.

Apêndice 1

Neste apêndice é apresentado as anotações de laboratório elaborada durante os experimentos. Todos os dados dos parâmetros utilizados para a produção de cada filmes estão especificados.

Foram produzidos um total de 43 filmes. O método de produção é dividido em três partes:

- Fabricação dos polímeros,
- Dispersão das cargas,
- Fabricação dos filmes,
- Pós processo que inclui a secagem dos filmes.

A tabela com estes dados está apresentada na próxima página.

Filme	Número tentativas	Composição	diâmetro (cm)	FABRICAÇÃO POLÍMERO				Sistema
				Planej	Espessura (μm)	Obtida	Pellets dissolvidos (%)	
1	PUC sem condensadora	PEBD		20	62	0.59	40	2
2	1º CENPES	PEBD		20	x	0.9615	4	2h 15 min
3	2º CENPES	PEBD		20	x	0.3786	52	2h 15 min
4	1º PUC	PEBD		20	x	0.4416	56	80
5	1º PUC	PEBD		20	x			2h 45 min
1	2º PUC		9.5	20	48			80
2	2º PUC	PEBD	9.5	40	68	0.4919	51	1h 20 min
3	2º PUC		5	20	73/77			1h 20 min
4	3º PUC	PEBD	10	40		0.4678	53	aprox 80
5	3º PUC		9.5	20				aprox 80
6	3º PUC		9	30				
7	4º PUC		9	30				
8	4º PUC	PEBD	10	20	57	0.5127	49	2h
9	4º PUC		5	20				maior que 80 aprox
10	4º PUC		5	40				
11	5º PUC		9.5	30				
12	5º PUC		9.5	20	56			
13	5º PUC	PEBD	5	20	51	0.4821	52	2h
14	5º PUC		5	40	91			maior que 80 aprox

Filme	PÓS PROCESSO			OBSERVAÇÕES
	Tempo (min)	Processo	Tempo (h)	
	Secagem		Temperatura (°C)	
1	20	Pl aquecedora	48	Ambiente
2	20	estufa à 70 °C	48	Ambiente
3	30	estufa à 70 °C	48	Ambiente
4		Pl aquecedora	24	Ambiente
5		Pl aquecedora	24	Ambiente
1	x	x	24	Após 1h e 30 min a solução alcança a ebulição, e 1h 15 min depois a solução ficou turva
2	x	x	24	Ambiente
3	x	x	24	Ambiente
4	x	x	48	Ambiente
5	x	x	48	Ambiente
6	x	x	48	Ambiente
7	x	x	48	Ambiente
8	x	x	48	Ambiente
9	x	x	48	Ambiente
10	x	x	48	Ambiente
11	20	Pl. aquecedora 40°C	24	Após 1h e 40 min (agit 3) começou a ferver . Deixei a solução durante duas horas.Ao retirar a solução não está turva então mexi com uma colher durante 5 min, começou a ficar turvo quando parou de ferver, Coloquei de volta no sistema com temp na placa de 100 °C/ag 6 por 5 min, depois retirei, mexi i mais 5 min e colquei dois filmes na placa aquecedora e outros dois em temperatura ambiente. Foi notório que as placas que secaram na temp ambiente ficaram com menos defeitos superficiais. (NOVO CICLOHEXANO)
12	x	x	24	Ambiente
13	20	Pl. aquecedora 40°C	24	Ambiente
14	x	x	24	Ambiente

Filme	Número tentativas	Composição	diâmetro (cm)	FABRICAÇÃO POLÍMERO				Sistema
				Espessura (μm)	Planej	Obtida	Pellets dissolvidos (%)	
15	6º PUC		10	30	57			
16	6º PUC	PEBD + P25	9.5	20	50	0.4785	52	2h 30 min
17	6º PUC		4.5	20	55			aprox 80
18	6º PUC		4.5	40	80			
19	7º PUC		5	20				
20	7º PUC	PEBD + P25	5	40	0.5186		48%	2h 15 min
21	7º PUC		10	30	86			aprox 80
22			9	30				
23			9	30				
24	8º PUC	PEBD + P25	5	30	0.573		43%	2h 30 min
25			5	30				aprox. 80
26			5	30				
27			9	30				
28			9	30	67			
29	9º PUC	PEBD + P25	9	30	59	0.526	48%	2h 30 min
30		PEBD	9	30				aprox. 80

Filme	CARGAS				FILMES			
	Tipo	Porcentagem em massa (%)	Dispersão		Mistura		Tempo (min)	Agitação (min)
			Método	Tempo (min)	Composição	Método		
15								
16	P-25	1%	ultrassom	5	10ml ciclohexano + 0,005g P-25	Agitação magnética na Pl. Aquecedora	110/130	10
17								5
18								
19								
20	P-25	1%	ultrassom	30	11ml ciclohexano + 0,005g P-25	Agitação magnética na Pl. Aquecedora	130	20
21								4
22								
23								
24	P-25	5%	ultrassom	30	50ml ciclohexano + 0,025g P-25	Agitação magnética na Pl. Aquecedora	130	20
25								4
26								
27								
28		5%	sem dispersão	x	x	O P-25 em pó foi diretamente adicionado numa alíquota de 36ml de solução de PE+ciclohexano	amb.	5
								0
29	P-25	3%	ultrassom	20	20ml ciclohexano + 0,0054g P-25	Agitação manual de 36ml da solução de PE+ciclohexano com 20ml de ciclohexano+P25	amb.	5
								0
30		x	x	x	x	x	x	0

Filme	PÓS PROCESSO			OBSERVAÇÕES
	Tempo (min)	Processo	Tempo (h)	
	Secagem	Descansando		
15	x	x		
16				
17	24	Dessecador Fechado	24	Temp. amb na dessecadora com uma fresta aberta
18				Como teste para obter filmes com menos danos resolvi colocar três na dessecadora na etapa de secagem e apenas um filme, amostra 15, secando na temperatura ambiente.
19				
20	48	Dessecador Fechado	24	Temp. amb na dessecadora semi aberta
21				
22				
23				
24	24	Dessecador Fechado	24	Temp. amb na dessecadora semi aberta
25				A solução obtida não ficou muito boa. Ao adicionar ciclohexano com P-25 a solução modificou. O polímero não ficou disperso de forma homogênea no ciclohexano. Ao retirar do sistema deu pra ver a solução não homogênea. Uma das placas foi seca do lado de fora da dessecadora comprovando que o esado do filme é muito pior.
26				
27				
28			48	
29	20	Dessecador fechado	48	Temp. amb na dessecadora semi aberta
30			48	Nesta tentativa, o P-25 foi adicionado numa aliquota de 36ml (sem os pellets não dissolvidos) que será utilizado na placa petri respectiva. Anteriormente, o P-25 era adicionado ao 100ml de solução no qual ainda continha os pellets não dissolvidos. Com isso o cálculo da % em massa do P-25 foi feito em relação a aliquota utilizada em cada placa e não em relação a solução toda (100ml)

FABRICAÇÃO POLÍMERO						
Filme	Número tentativas	Composição	diâmetro (cm)	Espessura (μm)	Pellets	Sistema
				Planej	Obtida	Resto(g)
					dissolvidos (%)	Tempo (h)
					23%	Temperatura (°C)
31	10º PUC	PEBD+P25	9	30	27	aprox. 80
32		PEBD+P25	9	30	19	2h 30 min
33	11º PUC	PEBD+P25	10	30	46-56	aprox. 80
34		PEBD+P25	9	30	40-52	aprox. 80

Filme	CARGAS				FILMES				
	Tipo	Porcentagem em massa (%)	Método	Tempo (min)	Composição	Método	T(°C)	Tempo (min)	Agitação (min)
31	P-25	3%	ultrassom	30	20ml ciclohexano+ 0,0054g P-25	Agitação manual de 36ml da solução de PE+ciclohexano com 20ml de ciclohexano+P25	amb.	5	0
32	P-25	5%	ultrassom	40ml ciclohexano+ 0,009g P-25	Agitação manual de 36ml da solução de PE+ciclohexano com 40ml de ciclohexano+P25	amb.	5	0	
33	P-25	3%	ultrassom	20ml ciclohexano+ 0,0054g P-25	Agitação manual de 36ml da solução de PE+ciclohexano com 20ml de ciclohexano+P25	amb.	5	0	
34	P-25	5%	ultrassom	40ml ciclohexano+ 0,009g P-25	Agitação manual de 36ml da solução de PE+ciclohexano com 40ml de ciclohexano+P25	amb.	5	0	

Filme	PÓS PROCESSO				OBSERVAÇÕES	
	Tempo (min)	Secagem	Descansando			
		Processo	Tempo (h)	Temperatura (°C)		
31	24	Dessecador fechado	72	Temp. amb na dessecadora semi aberta	Nesta tentativa foi utilizada uma placa aquecedora diferente dificultando um pouco o procedimento. A adição da solução com o P-25 obteve melhor resultado. Uma possibilidade pode ser a concentração de P-25 dissolvida no ciclohexano durante o ultrassom. Realizou-se uma mistura manual das duas soluções na temperatura ambiente, impedindo que ocorresse alguma reação em temperaturas elevadas.	
32	24					
33	24	Dessecador fechado	72	Temp. amb na dessecadora semi aberta	Nesta tentativa foi utilizada uma placa aquecedora diferente dificultando um pouco o procedimento. A adição da solução com o P-25 obteve melhor resultado. Uma possibilidade pode ser a concentração de P-25 dissolvida no ciclohexano durante o ultrassom. Realizou-se uma mistura manual das duas soluções na temperatura ambiente, impedindo que ocorresse alguma reação em temperaturas elevadas.	
34	24					

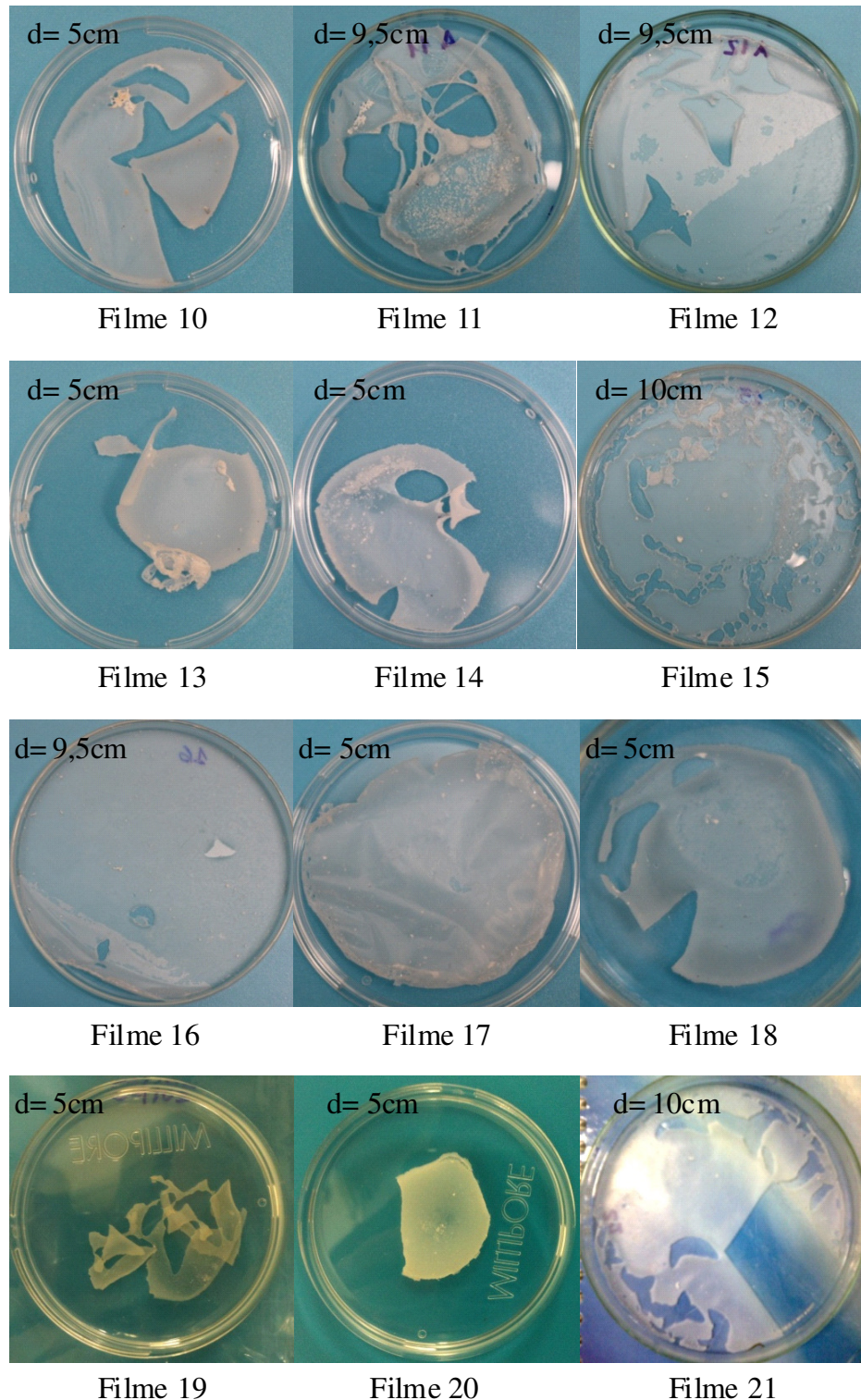
FABRICAÇÃO POLÍMERO							
Filme	Número tentativas	Composição	diâmetro (cm)	Espessura (µm)			Sistema
				Planej	Obtida	Pellets dissolvidos (%)	
35	12 PUC	PEBD+A5	9.5	37			aprox. 80
		PEBD+A5	9.5	30		41%	
36	12 PUC	PEBD PURO	9.5				aprox. 80
		PEBD+A5	10	20			
37	13 PUC	PEBD+A1	9	30	32	31%	aprox. 80
		PEBD+A1	9	30		2h 30 min	
38	13 PUC	PEBD PURO	9	30			aprox. 80
		PEBD+A5	10	20			
39	13 PUC	PEBD+A1	9	30	32	31%	aprox. 80
		PEBD+A1	9	30	65	0,6943	
40	14 PUC	PEBD PURO	9	30			aprox. 80
		PEBD+A1	9.5	30	39-42	0,5024	
41	15 PUC	PEBD+A5	9.5	30			aprox. 80
		PEBD+A11	9.5	30			
42	15 PUC	PEBD+A11	9.5	30			aprox. 80
		PEBD+A5	9.5	30			
43	15 PUC	PEBD+A5	9.5	30			aprox. 80
		PEBD+A11	9.5	30			

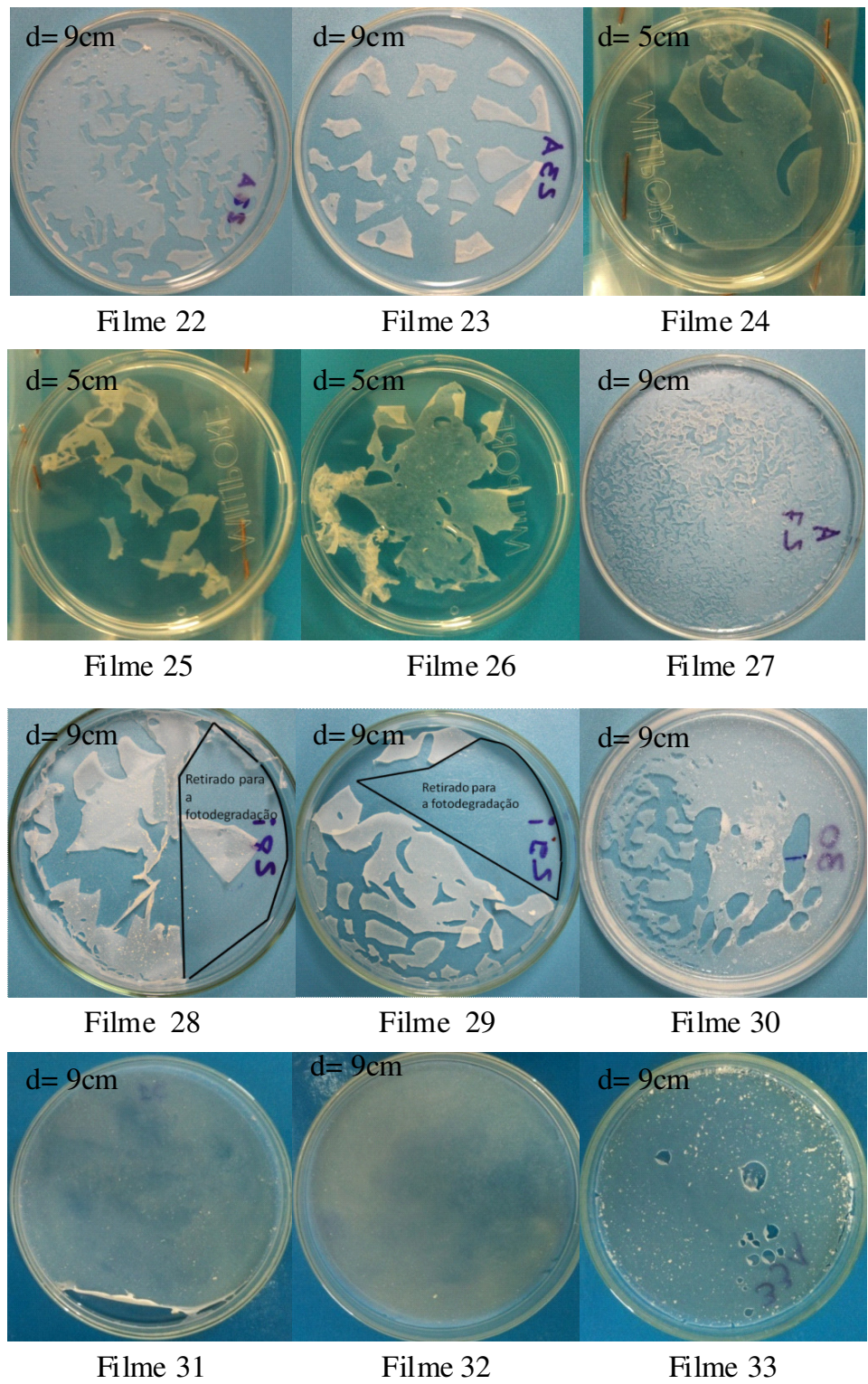
Filme	CARGAS				FILMES			
	Tipo	Porcentagem em massa (%)	Dispersão		Mistura		T(°C)	Tempo (min)
			Método	Tempo (min)	Composição	Método		
35	A5	3%			20ml ciclohexano+ 0,0054g A5	Agitação manual de 36ml da solução de PE+ciclohexano com 20ml de ciclohexano+A5	amb.	5 0
36	A5	5%	ultrassom	30	40ml ciclohexano+ 0,009g A5	Agitação manual de 36ml da solução de PE+ciclohexano com 40ml de ciclohexano+A5	amb.	5 0
37	PE puro	x	x	x	x	x	x	x x
38	A5	5%	ultrassom	30	70ml ciclohexano+ 0,009g A5	Agitação manual de 36ml da solução de PE+ciclohexano com 70ml de ciclohexano+A5	amb.	5 0
39	A1	3%	ultrassom	30	30ml ciclohexano+ 0,0054g A1	Agitação manual de 36ml da solução de PE+ciclohexano com 30ml de ciclohexano+A1	amb.	5 0
40	A1	3%	ultrassom	30	30ml ciclohexano+ 0,0054g A1	Agitação manual de 36ml da solução de PE+ciclohexano com 30ml de ciclohexano+A1	amb.	5 0
41	PE puro	x	x	x	x	x	xx	x
42	A11	3%	ultrassom	30	30ml ciclohexano+ 0,0054g A11	Agitação manual de 36ml da solução de PE+ciclohexano com 30ml de ciclohexano+A11	amb.	5 0
43	A5	3%	ultrassom	30	30ml ciclohexano+ 0,0054g A5	Agitação manual de 36ml da solução de PE+ciclohexano com 30ml de ciclohexano+A5	amb.	5 0

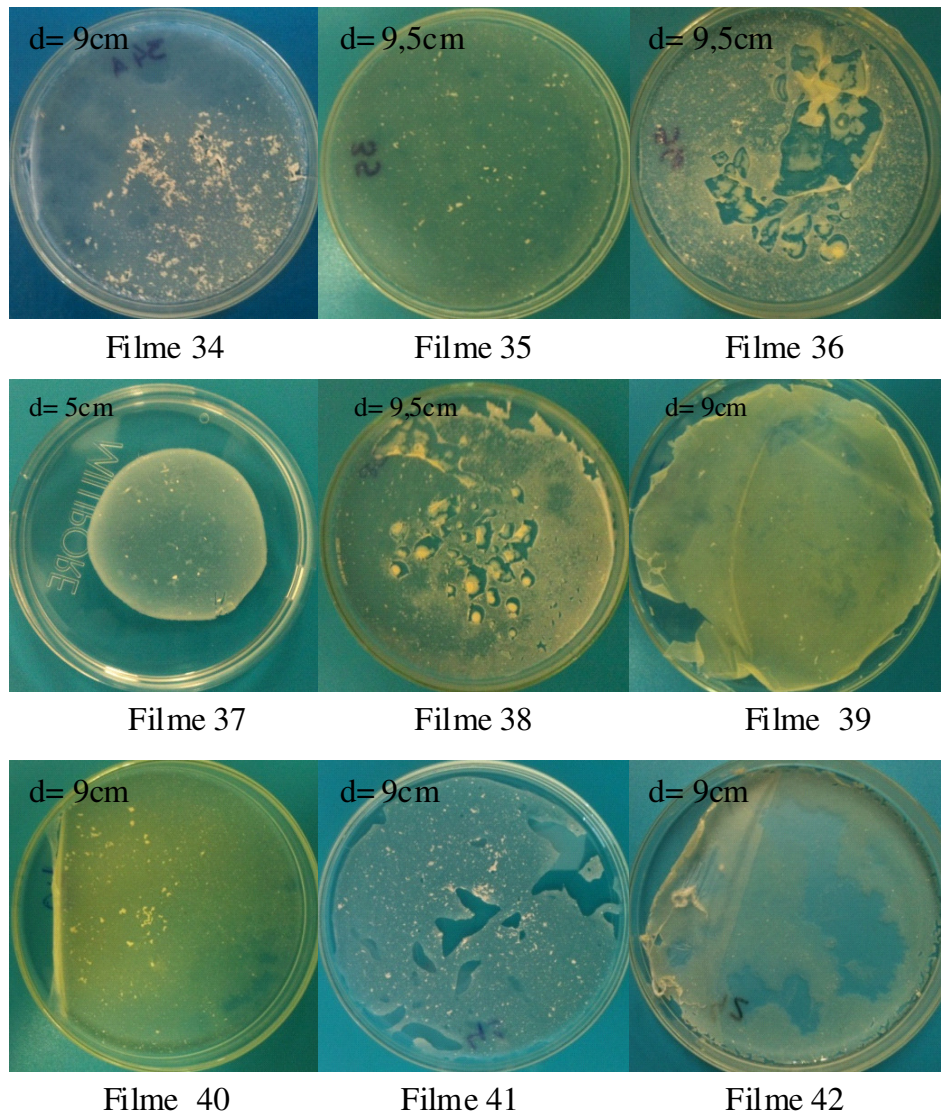
Filme	PÓS PROCESSO				OBSERVAÇÕES
	Tempo (min)	Secagem Processo	Descansando	Temperatura (°C)	
35	24				
36	24	Dessecador Fechado	64	Temp. amb na dessecadora semi aberta	O filme 36 ficou ruim. Isso pode ter duas razões: fazer a dispersão da carga num volume maior de solvente, ou há alguma questão que dificulta o 5% de carga no filme. O que aconteceu é que a carga quando mistura com o polímero aglomera muito, sendo possível ver a carga aglomerada.
37	24				
38	24		72		
39	24	Dessecador Fechado	72	Temp. amb na dessecadora semi aberta	O filme 38 com 5% de A5 ficou ruim novamente. Occorre aglomeração ao misturar as duas soluções. Uma justificativa pode ser devido a pouca estabilidade da carga no tipo de solvente escolhido (ápolar). O filme com 3% de A1 ficou bom, mas a concentração é maior do que a planejada, pois uma menor quantidade de polímero dissolveu.
40	24				
41	24	Dessecador Fechado	72	Temp. amb na dessecadora semi aberta	
42	24				Como dissolveu pouco polímero, o filme ficou muito fino e com diferentes regiões, no qual algumas parecem estar mais translúcidas que outras. Isso pode indicar que a carga não esteja homogenea no filme.
43	24	Dessecador Fechado	72	Temp. amb na dessecadora semi aberta	Este filme não deu certo, pois aglomerou. Não entendo porque pois utilizei o mesmo processo que o anterior. Além disso, o filme estufou dentro da placa petri. Reação estranha já que foi seco dentro da estufa.

9

Apêndice 2







Apêndice 3

10.1. Espectroscopia no Ultra Violeta (UV-Vis)

Para facilitar a comparação entre os espectros dos diversos filmes, os espectros forma normalizados dividindo o valor de absorção pela espessura de cada filme.

Os espectros deste primeiro grupo (Figura 1) demonstram que somente os filmes com carga P-25 apresentam um pico na faixa de ~325nm. Os filmes compostos por nanotubos sem pós tratamento e pós tratados possuem espectros semelhantes. Podemos notar também que todos possuem pequenos picos de transmissão em aproximadamente 475nm e 650nm.

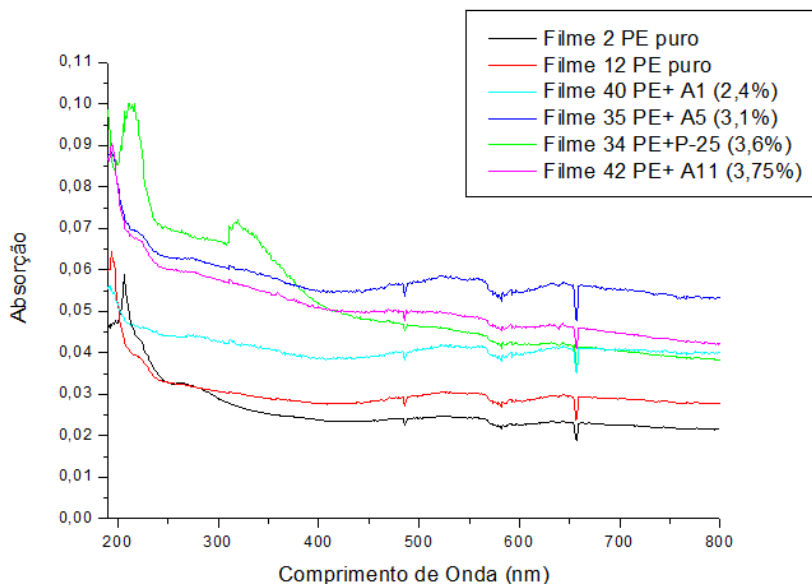


Figura 1: Filmes de nanocompósito com 2,5 a 4wt% de cargas (Grupo 1)

Os espectros do grupo 2 apresentam as mesmas características do que o grupo 1.

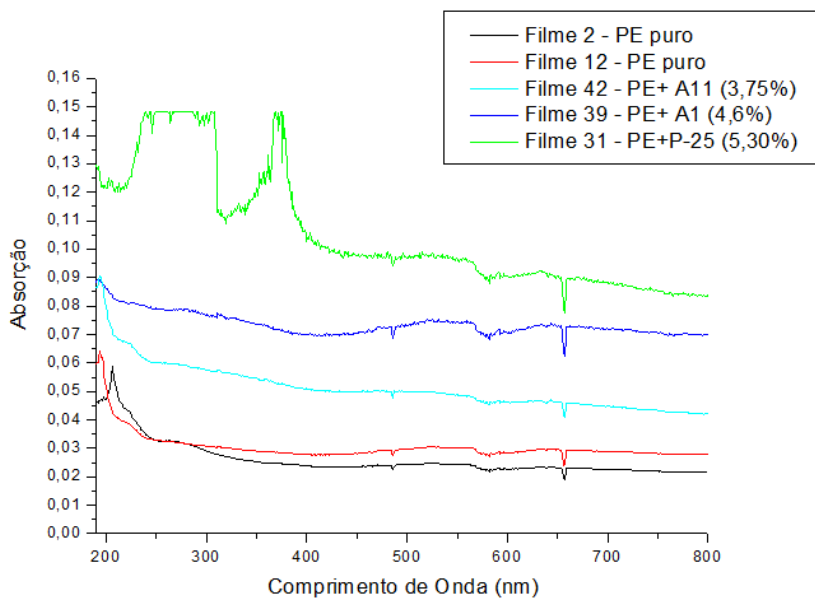


Figura 2: Filmes de nanocompósito com 4 a 6 wt% de cargas (Grupo 2)

O gráfico da figura 3 apresenta espectros de filmes com várias concentrações de P-25 e, como é possível observar, os filmes 31 e 32 possuem picos distintos dos filmes 33 e 34. A intensidade de absorção pode ser influenciada pela diferença de espessura dos filmes, mesmo após a normalização (divisão dos valores dos espectros pela espessura de cada filme).

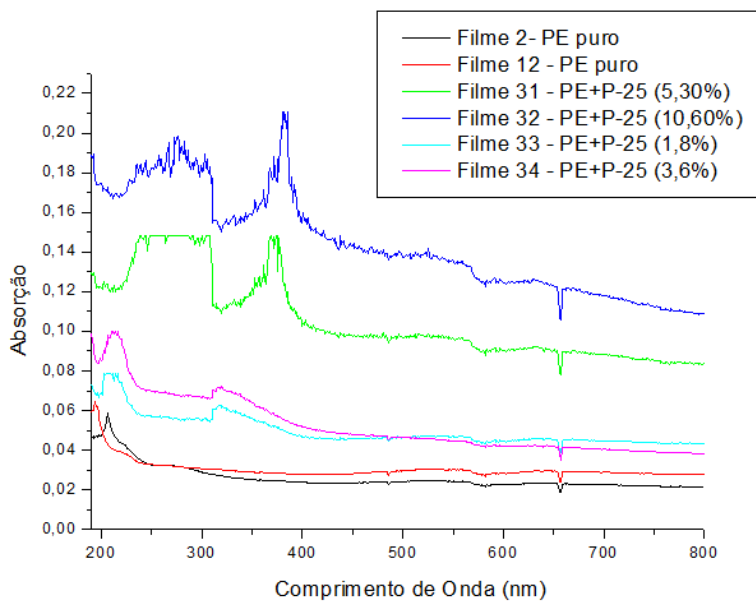


Figura 3: Filmes de nanocompósito com varias concentrações de carga P-25 (Grupo 3)